

Рис.4. Сечения ригеля: а) на стадии возведения, б) на стадии эксплуатации.

200-250 мм для вентиляции и других коммуникаций. При возведении здания требуется применять специальную последовательность монтажных и бетонных работ обеспечивающую исключение дополнительных нагрузок на сталежелезобетонные конструкции с бетоном, не набравшим проектной прочности.

Выводы

Предлагаемое конструктивное решение увеличивает предел огнестойкости традиционных стальных ригелей степень огнестойкости зданий.

УДК 624.012.45: 666.972.07: 539.4

Алявдин П.В.

НЕСУЩАЯ СПОСОБНОСТЬ СЕЧЕНИЙ ОБОЛОЧЕК

1. ПОВТОРНЫЕ НАГРУЖЕНИЯ ТОЛСТОСТЕННЫХ И ТОНКОСТЕННЫХ СЕЧЕНИЙ

1. Введение

В данной работе сформулирована и решена проблема приспособляемости и несущей способности поперечных сечений однородных изотропных оболочек различной толщины (толстостенных, средней толщины и тонкостенных) при малоцикловом повторно-переменном нагружении, квазистати-

чески изменяющемся во времени. Эта проблема наиболее естественно решается численным путем в трехмерной постановке [1 - 3]; однако здесь основное внимание уделено отысканию решений в квадратурах в двумерной постановке, аналогично подходу [4, 5]. При этом для толстостенных оболочек решения содержат некоторую (допустимую для практических

Горизонтальные гибкие упоры устанавливаемые в сжатой зоне стальных ригелей, обеспечивают их общую устойчивость в процессе монтажа и эксплуатации.
 Включение в работу ригелей на изгиб железобетонных плит с анкерными устройствами в виде шпилек и заполненными бетоном пустотами при выполнении железобетонной части ригелей обеспечивает дополнительную надежность здания, позволяет отказаться от установки дополнительных связей в их плоскости.

Алявдин Петр Владимирович, профессор, доктор технических наук. Кафедра строительной механики Политехника Зеленогурской, Зеленая Гора, Польша. E-mail: palawdin@brick.wbis.pz.zgora.pl.

целей) погрешность, а для оболочек средней толщины оказываются точными. Разница в двух последних подходах проявляется только при вычислении „упругих” напряжений или аналитическими, или численными методами.

Для данной проблемы представлены прямая (статическая) и двойственная (кинематическая) оптимизационные формулировки, а также обобщенная задача Лагранжа. На основе метода множителей Лагранжа предложены алгоритмы решения, разработаны компьютерные программы и численно исследована прочность сечений циклически нагруженных тонкостенных оболочек.

Полученные здесь результаты позволяют оценить существующие решения для несущей способности тонких оболочек и пластин при повторно-переменном нагружении [6-10], а также возможные новые решения для оболочек средней толщины [11]. Особый интерес такой подход будет иметь для анизотропных элементов из композитных материалов, рассматриваемых по уточненным теориям [12].

Данный подход применен далее при анализе несущей способности оболочек [13-15], а при однократном нагружении, когда необходимо использовать двумерную постановку (см. Статью-2 автора ниже); его можно использовать также для анализа стыков и соединений элементов [16, 17].

2. Постановка задачи. Определяющие соотношения

1. Здесь рассмотрена задача определения несущей способности сплошных поперечных сечений как элемента оболочек при малоцикловом повторно-переменном нагружении; оболочки выполнены из однородного идеально пластического материала. Эта задача заключается в построении некоторой области прочности сечения, зависящей от характеристик циклов нагружения при всех возможных расчетных комбинациях усилий.

Несущую способность элемента определяем на основе теории приспособляемости. Геометрически нелинейные эффекты не учитываем (см. [28]).

Вводим ортогональную систему координат $Oxyz$ (криволинейная система координат для оболочек рассмотрена, например, в [11]). Учитываем, хотя это и не обязательно, только статические граничные условия на поверхности S_f ; кинематические граничные условия не рассматриваем. Вектор напряжений σ содержит все шесть компонент, $\sigma = (\sigma_x, \sigma_y, \sigma_z, \tau_{xy}, \tau_{yz}, \tau_{zx})$, $\sigma \in R^6$, при $\tau_{xy} = \tau_{yx}$, $\tau_{yz} = \tau_{zy}$, $\tau_{zx} = \tau_{xz}$, и задача для элемента не отличается от задачи для сплошного тела. Распределение напряжений σ_z по толщине оболочки принимаем заданным. Других предположений, в том числе гипотезы о плоских нормалях, не используем.

Вектор S усилий (внутренних сил) оболочки включает десять компонент: шесть сил (нормальных N_x, N_y , касательных или сдвигающих N_{xy}, N_{yx} и поперечных Q_x, Q_y), и четыре момента (изгибающих M_x, M_y и крутящих M_{xy}, M_{yx}) относительно соответствующих осей x, y сечения, $S = (N_x, M_x, M_{xy}, N_{xy}, Q_x, N_y, M_y, M_{yx}, N_{yx}, Q_y)$, $S \in R^{10}$. Усилия предварительного напряжения и температурные воздействия рассмотрены здесь в качестве одного из видов действующей на сечение нагрузки, для которой вектор равнодействующих внутренних сил равен нулю.

2. Примем, что оболочка подвергается повторно-переменному нагружению F , которое квазистатически изменяется произвольным образом в пределах некоторой заданной области Ω_F . В результате вектор усилий $S = (N_x, M_x, M_{xy}, N_{xy}, Q_x, N_y, M_y, M_{yx}, N_{yx}, Q_y)$ изменяется в пределах области Ω_S , определенным образом связанной с Ω_F . Пусть область Ω_S аппроксимируется многогранником

$$\Omega_S = \{S \in R^{10} : S = \sum_{j \in J} \alpha_j S_j, \sum_{l \in L} \alpha_l = 1, \alpha_j \geq 0, j \in J\}, \quad (1)$$

где S_j - векторы расчетных сочетаний усилий в сечении при действии j -х сочетаний внешних воздействий на конструкцию (силовых, температурных и кинематических); α_j - вектор барицентрических координат, $j \in J$; J - множество сочетаний нагрузок и усилий; остальные обозначения традиционны. Заметим, что к вектору S можно добавить еще компоненты, связанные с температурными воздействиями; функции распределения этих воздействий по сечению известны.

В область Ω_S входит начало координат, или “нулевая” нагрузка $S = 0$, соответствующая как естественному ненапряженному состоянию сечения, так и состоянию заданного предварительного напряжения сечения. Последнее состояние учитывается аналогично температурному.

3. Сформулируем исходную задачу для толстостенных оболочек. Вектор усилий оболочки $S = (N_x, M_x, M_{xy}, N_{xy}, Q_x, N_y, M_y, M_{yx}, N_{yx}, Q_y)$, $S \in R^{10}$, статически эквивалентен заданной плотности поверхностных f сил в сечениях с нормалью x, y . Вектор напряжений σ содержит все шесть компонент, $\sigma = (\sigma_x, \sigma_y, \sigma_z, \tau_{xy}, \tau_{yz}, \tau_{zx})$, $\sigma \in R^6$, при $\tau_{xy} = \tau_{yx}$, $\tau_{yz} = \tau_{zy}$, $\tau_{zx} = \tau_{xz}$. В этом случае многопараметрическая задача для сечения оболочки имеет такой же вид, как и для сплошного тела:

$$\sum_{j \in J} \left(\int_V t_{gj}^T g_j dV + \int_{S_f} t_{fj}^T f_j dS_f \right) \rightarrow \max, \quad (1)$$

$$\varphi(\sigma, K) \leq 0, \quad \sigma = \sigma^e + \sigma^r, \quad (2), (3)$$

$$\sigma^e = \int_{S_f} \omega_f f dS_f + \int_V \omega_g g dV, \quad (4) \quad (2)$$

$$\varphi_S \sigma^e = 0, g \in \Omega_g(g_j, j \in J) \forall x \in V, \quad (5), (6)$$

$$\varphi_S \sigma^r = 0, f \in \Omega_f(f_j, j \in J) \forall x \in S_f. \quad (7), (8)$$

Здесь t_{gj}, t_{fj} - векторные поля весовых коэффициентов соответственно для плотности объемных (массовых) g и поверхностных f сил; ω_f, ω_g - векторные поля функций влияния Грина соответственно для плотности объемных (массовых) g и поверхностных f сил в сечении; $t_{gj}(x), t_{fj}(x), g(x), f(x) \in R^3, x := (x, y, z); j$ - номер нагружения, $j \in J$. Области Ω_f, Ω_g изменения сил f и g соответствуют программе (1) нагружения оболочки. Вектор $K \in R^{kf}$ включает в себя константы пластичности; его размерность kf , например, для материалов, различно сопротивляющихся растяжению и сжатию, $kf = 2$; для обычных материалов $kf = 1$.

Напряжения σ в (2)₃ для идеально упругопластического материала складываются из упругих σ^e и остаточных σ^r составляющих. Уравнения (2)₅, (2)₇ определяют самоуравновешенность остаточных напряжений σ^r в объеме V и на поверхности сечения S_f оболочки; φ, φ_S - соответственно дифференциальный и алгебраический операторы этих уравнений.

Неизвестными в задаче (2) будут $2(|J|+1)$ векторных полей j -х поверхностных f_j и объемных g_j сил, $j \in J$, полей

сил \mathbf{f} и \mathbf{g} , а также векторное поле напряжений $\boldsymbol{\sigma}^r \in \mathbf{R}^5$. Здесь через $|\mathbf{J}|$ обозначена размерность множества \mathbf{J} .

Области Ω_f, Ω_g произвольно изменяющихся сил нагружения \mathbf{f} и \mathbf{g} задаются в (2) либо вершинами многогранной области (политопом типа (1)), либо неравенствами [4], образующими полиэдр.

Математическую модель задачи (2) на основе алгоритмов [4] можно преобразовать путем перехода к невыгоднейшим сочетаниям напряжений $\boldsymbol{\sigma}_l^e, l \in \mathbf{L}; \mathbf{L}$ - множество сочетаний. Тогда векторные поля сил \mathbf{f} и \mathbf{g} в задаче (2) будут исключены, но зато вместо простых ограничений (2)₆ - (2)₈ в большом количестве появятся сложные ограничения для $\boldsymbol{\sigma}_l^e, l \in \mathbf{L}$. Поэтому математические модели вида (2) в ряде случаев имеют преимущество перед обычным подходом; они были численно реализованы, видимо, впервые в работе [18].

Здесь сразу будем рассматривать отдельные \mathbf{j} -е нагружения, вместо их невыгоднейших l -х сочетаний. Примем также, что множество \mathbf{J}^* невыгоднейших нагружений, $\mathbf{j} \in \mathbf{J}^*$, уже определено [19] путем решения следующей задачи:

$$\varphi(\boldsymbol{\sigma}^e(\mathbf{g}, \mathbf{f}) + \boldsymbol{\sigma}^r, \mathbf{K}) \rightarrow \max_{\mathbf{j} \in \mathbf{J}}, \quad (1)$$

$$\boldsymbol{\sigma}^e(\mathbf{g}, \mathbf{f}) = \int_{S_f} \boldsymbol{\omega}_f dS_f + \int_V \boldsymbol{\omega}_g dV, \quad (2) \quad (3)$$

$$\mathbf{f} \in \Omega_f(\mathbf{f}_j, \mathbf{j} \in \mathbf{J}), \mathbf{g} \in \Omega_g(\mathbf{g}_j, \mathbf{j} \in \mathbf{J}), \quad (3), (4)$$

при фиксировании всех остальных переменных.

В дальнейшем задачу приспособляемости оболочек решаем на основе следующей (хотя и не обязательной) гипотезы для векторного поля напряжений $\boldsymbol{\sigma}$

$$\boldsymbol{\sigma}_z = \mathbf{f}_z(\mathbf{z}), \quad (4)$$

где $\mathbf{f}_z(\mathbf{z})$ - заданная функция, соответствующая условиям (2). Тогда вектор искомых напряжений в задаче (2) будет

$\boldsymbol{\sigma}^r = (\boldsymbol{\sigma}_x^r, \boldsymbol{\sigma}_y^r, \boldsymbol{\tau}_{xy}^r, \boldsymbol{\tau}_{yz}^r, \boldsymbol{\tau}_{zx}^r), \boldsymbol{\sigma}^r \in \mathbf{R}^5$. Для тонкостенных оболочек вместо условия (4) принимаем $\boldsymbol{\sigma}_z = \mathbf{0}$; кроме того, для них еще используем гипотезу о плоских нормальных.

4. Расчет оболочки сводим к анализу ее поперечного сечения, при этом никаких ограничений на очертание и характер нагружения оболочки не накладываем. Математически это означает, что задача (2) теории оптимального управления системой, состояние которой описывается дифференциальными уравнениями в частных производных (2)₅ и алгебраическими уравнениями (2)₇, заменяется следующей (также многопараметрической) задачей бесконечномерного математического программирования [20]

$$\sum_{j \in \mathbf{J}} T_j^T S_j \rightarrow \max, \quad (1)$$

$$\varphi(\boldsymbol{\sigma}_j, \mathbf{K}) \leq 0, \boldsymbol{\sigma}_j = \boldsymbol{\sigma}_j^e(S_j) + \boldsymbol{\sigma}^r, \quad (2), (3) \quad (5)$$

$$\boldsymbol{\sigma}_j^e(S_j) = \boldsymbol{\omega}_{\sigma S} S_j \quad \forall z \in A, \quad (4)$$

$$S^r := \int_A \boldsymbol{\beta} \boldsymbol{\sigma}^r dA = \mathbf{0}, S_j \geq 0, j \in \mathbf{J}^*. \quad (5), (6)$$

Здесь T_j - вектор весовых коэффициентов для обобщенных усилий, $T_j \in \mathbf{R}^{10}, j \in \mathbf{J}$; $\boldsymbol{\omega}_{\sigma S} := (\alpha_{ij})$ - 5x10-матрица влияния, аналогичная функции влияния $\boldsymbol{\omega}_f$ в задаче (2); вектор $\mathbf{x} := z \in \mathbf{R}^1; S_j := A = [-h/2; h/2]; h$ - толщина оболочки. Объемные силы \mathbf{g} здесь исключены (их учет представлен в [21]).

В задаче (4) состояние системы описывается интегральными уравнениями равновесия (4)₅ с 10x5-матрицей $\boldsymbol{\beta}$, которая после транспонирования имеет вид (6).

Для технической теории сплошных тонких оболочек средней кривизны используем расширенный вектор напряжений, $\boldsymbol{\sigma} = (\sigma_x, \sigma_y, \tau_{xy}, \tau_{yx}, \tau_{zx}, \tau_{yz}), \boldsymbol{\sigma} \in \mathbf{R}^6$, откуда в уравнениях (5)₄ имеем следующую расширенную 6x10-матрицу влияния (7). Четвертую строку матрицы $\boldsymbol{\omega}_{\sigma S}$ здесь можно исклю-

$$\boldsymbol{\beta}^T = \begin{bmatrix} 1 + \frac{z}{r_y} & (1 + \frac{z}{r_y})z & 0 & 0 & 0 & 0 & 0 & 0 & 0 & 0 & 0 \\ 0 & 0 & 0 & 0 & 0 & 1 + \frac{z}{r_x} & (1 + \frac{z}{r_x})z & 0 & 0 & 0 & 0 \\ 0 & 0 & (1 + \frac{z}{r_y})z & 1 + \frac{z}{r_y} & 0 & 0 & 0 & (1 + \frac{z}{r_x})z & 1 + \frac{z}{r_x} & 0 & 0 \\ 0 & 0 & 0 & 0 & 0 & 0 & 0 & 0 & 0 & 0 & 1 + \frac{z}{r_x} \\ 0 & 0 & 0 & 0 & 1 + \frac{z}{r_y} & 0 & 0 & 0 & 0 & 0 & 0 \end{bmatrix}. \quad (6)$$

$$\boldsymbol{\omega}_{\sigma S} = \begin{bmatrix} 1/h & 12z/h^3 & 0 & 0 & 0 & 0 & 0 & 0 & 0 & 0 & 0 \\ 0 & 0 & 0 & 0 & 0 & 1/h & 12z/h^3 & 0 & 0 & 0 & 0 \\ 0 & 0 & 12z/h^3 & 1/h & 0 & 0 & 0 & 0 & 0 & 0 & 0 \\ 0 & 0 & 0 & 0 & 0 & 0 & 0 & 12z/h^3 & 1/h & 0 & 0 \\ 0 & 0 & 0 & 0 & \alpha_{55} & 0 & 0 & 0 & 0 & 0 & 0 \\ 0 & 0 & 0 & 0 & 0 & 0 & 0 & 0 & 0 & 0 & \alpha_{66} \end{bmatrix}, \quad (7)$$

где $\alpha_{55} = \alpha_{66} = \frac{3}{2h} (1 - \frac{4z^2}{h^2})$ - функции координаты z сечения, отражающие влияние поперечных сил Q_x и Q_y .

чить из условия $\tau_{xy} = \tau_{yx}$, связывающего между собой усилия $M_{xy}, N_{xy}, M_{yx}, N_{yx}$: $N_{xy} - N_{yx} = 12z(M_{xy} - M_{yx})/h^2$. Для сильно искривленных оболочек компоненты α_{ij} матрицы $\omega_{\sigma S}$ в (7) зависят еще от радиусов кривизны r_x, r_y . В общем случае толстостенных оболочек матрица влияния $\omega_{\sigma S}$ (7) находится численным путем с использованием существующих компьютерных программ.

Неизвестными (независимыми переменными) в задаче (5) будут $9 | J^* |$ компонент векторов усилий $S_j, j \in J^*$ и векторное поле напряжений $\sigma^r(z) \in R^5$.

Для пологих (и сферических, $r_x = r_y$) оболочек, при $N_{xy} = N_{yx}$ и $M_{xy} = M_{yx}$, векторы напряжений и усилий будут иметь меньшую размерность, $\sigma = (\sigma_x, \sigma_y, \tau_{xy}, \tau_{zx}, \tau_{yz}), \sigma \in R^5, S = (N_x, M_x, M_{xy}, N_{xy}, Q_x, N_y, M_y, Q_y), S \in R^8$. Тогда в матрице $\omega_{\sigma S}$ (7) необходимо исключить четвертую строку, а также восьмой и девятый столбцы, а в уравнениях (5)₅ и (6) отбросить слагаемые, содержащие радиусы кривизны r_x, r_y . Полученные зависимости будут применимы также для пластин, работающих одновременно при изгибе и при плоском напряженном состоянии.

5. Если область Ω_S (1) изменения вектора обобщенных усилий S определяется с точностью до одного параметра F_0 , следует принять

$$j = F_0 \bar{S}_j, \quad j \in J^*, \quad (8)$$

где \bar{S}_j – значения векторов S_j при $F_0 = 1, j \in J^*$; $\bar{S}_j \in R^{10}$. Параметр F_0 представляет собой коэффициент запаса действующих на сечение усилий по отношению к их предельным значениям.

Тогда задача (5) будет следующей:

$$F_0 \rightarrow \max, \quad (1)$$

$$\varphi(\sigma_j, K) \leq 0, \quad \sigma_j = \sigma_j^e(S_j) + \sigma, \quad (2), (3) \quad (9)$$

$$\sigma_j^e(S_j) = \omega_{\sigma S} F_0 \bar{S}_j \quad \forall z \in A, j \in J^*, \quad (4)$$

$$S^r := \int_A \beta \sigma^r dA = 0, \quad F_0 \geq 0. \quad (5), (6)$$

Практически важной (необходимой для построения области прочности сечения оболочки) будет другая однопараметрическая задача, в которой отыскивается некоторый i -й компонент S_{i_0} вектора усилий S_{j_0} (выбранный постановщиком),

$$S_{i_0} \rightarrow \max, \quad (10)$$

$$\varphi(\sigma_j, K) \leq 0, \quad \sigma_j = \sigma_j^e(S_j) + \sigma, \quad (11), (12)$$

$$\sigma_j^e(S_j) = \omega_{\sigma S} S_j, \quad j \in j_0 \cup J_0^*, \quad \forall z \in A, \quad (13)$$

$$S^r := \int_A \beta \sigma^r dA = 0, \quad S_{i_0} \geq 0. \quad (14), (15)$$

Остальные компоненты вектора усилий S_{j_0} , составляющие подвектор $S_{p_0} \in R^9$, известны, и полный вектор $S_{j_0} = (S_{i_0}, S_{p_0})$. Здесь через J_0^* обозначено множество остальных известных j -х векторов усилий S_j , тогда полное множество векторов $(S_j, j \in J) = ((S_{i_0}, S_{p_0}), S_j, j \in J_0)$, и множество индексов $J^* = j_0 \cup J_0^*$.

Неизвестными в задаче (9) (или (10)–(15)) будут параметр F_0 (или компонент вектора усилий S_{i_0}) и векторное поле напряжений $\sigma^r(z) \in R^5$.

Задачи оптимизации (2), (5), (9) и (10)–(15) представляют собой статическую формулировку проблемы, построенной на основе следующего экстремального **энергетического принципа**: Из всех статически допустимых полей остаточных напряжений действительным будет такое поле, при котором мощность усилий в цикле максимальна.

6. Кинематическую формулировку проблемы можно получить путем построения двойственных задач оптимизации. Покажем это на примере задачи (10)–(15). Для нее функционал Лагранжа имеет вид

$$L(S_{i_0}, \sigma^r, \lambda, \dot{w}, v_{i_0}) = S_{i_0} + \dot{w}^T \int_A \beta \sigma^r dA + \int_A \lambda \varphi(\sigma_j, K) dA + v_{i_0} S_{i_0}, \quad (16)$$

где $\lambda(z) \in R^1, \dot{w} \in R^{10}$ – соответственно скалярное поле λ и вектор \dot{w} множителей Лагранжа; вектор $\dot{w} := (\dot{e}'_x, \dot{v}'_x, \dot{v}'_{xy}, \dot{v}'_{yx}, \dot{v}'_y, \dot{e}'_y, \dot{v}'_y, \dot{v}'_{yx}, \dot{v}'_{xy}, \dot{v}'_x, \dot{e}'_x, \dot{v}'_x, \dot{v}'_{xy}, \dot{v}'_{yx}, \dot{v}'_y, \dot{v}'_y)$ имеет смысл скорости остаточных перемещений, двойственным усилиям самонапряжения S^r .

Обобщенная задача Лагранжа для проблемы (10)–(15) примет вид:

$$\varphi(\sigma_j, K) \leq 0, \quad \sigma_j = \sigma_j^e(S_j) + \sigma, \quad (17), (18)$$

$$\sigma_j^e(S_j) = \omega_{\sigma S} S_j, \quad j \in j_0 \cup J_0^*, \quad (19)$$

$$\lambda \geq 0, \quad \lambda \varphi(\sigma_j, K) = 0, \quad (20), (21)$$

$$\beta^T \dot{w} - \lambda \frac{\partial \varphi(\sigma_j, K)}{\partial \sigma^r} = 0 \quad \forall z \in A, \quad (22)$$

$$S^r := \int_A \beta \sigma^r dA = 0, \quad S_{i_0} \geq 0. \quad (23), (24)$$

$$1 + \int_A \lambda \frac{\partial \varphi(\sigma_j, K)}{\partial S_{i_0}} dA + v_{i_0} = 0, \quad (25)$$

$$v_{i_0} \geq 0. \quad (26)$$

Тогда кинематическая формулировка проблемы (10)–(15) будет следующей:

$$\int_A \left[\lambda \frac{\partial \varphi(\sigma_j, K)}{\partial \sigma^r} \right]^T \cdot \sigma^r dA + \int_A \lambda \varphi(\sigma_j, K) dA \rightarrow \min, \quad (27)$$

$$\beta^T \dot{w} - \lambda \frac{\partial \varphi(\sigma_j, K)}{\partial \sigma^r} = 0, \quad \forall z \in A, \quad (28)$$

$$\int_A \lambda \frac{\partial \varphi(\sigma_j, K)}{\partial S_{i_0}} dA \geq 1, \quad (29)$$

$$\lambda \geq 0. \quad (30)$$

Задача оптимизации (27)–(30) соответствует следующему экстремальному **энергетическому принципу**: Из всех кинематически допустимых векторов скоростей остаточных перемещений действительным будет такой вектор, при котором скорость диссипации энергии в цикле минимальна.

7. Для численных исследований многогранную область нагружения сечений Ω_S принимаем в виде прямоугольного параллелепипеда

$$-S^- \leq S \leq S^+, \quad (31)$$

где $S^-, S^+ \in R^{10}$ – пределы изменения вектора усилий $S, S^T = (N_x^T, \dots, Q_y^T), S^- \geq 0, S^+ \geq 0$.

Если функция текучести $\phi(\sigma, K)$ в (11) в сформулированных выше задачах (2), (5), (9) и (10)–(15) выпуклая, то для оптимального решения условие (11) превратится из неравенства в равенство или для всего сечения, или для его отдельных точек. При этом возникают различные режимы пластического разрушения сечения; им соответствуют классические задачи оптимизации с ограничениями-равенствами, рассмотренные в п. 3.2. Если же функция текучести в (11) невыпуклая [22 - 24] или оболочка выполнена из материала с сухим трением [25], то необходимо непосредственно решать задачи математического программирования в функциональных пространствах [26].

В качестве неравенств (11) далее принимаем условие текучести Губера-Мизеса, записанное в системе координат $Oxyz$

$$\phi(\sigma, K) := (\sigma_x - \sigma_y)^2 + (\sigma_y - \sigma_z)^2 + (\sigma_z - \sigma_x)^2 + 6(\tau_{xy}^2 + \tau_{yz}^2 + \tau_{zx}^2) - k^2 \leq 0, \quad (32)$$
 или в сокращенной записи $s_{ij}s_{ij} - 2k_1^2 \leq 0$, где $k^2 = 2f_y^2, f_y$ – предел текучести, $k_1 = f_y/\sqrt{3}$. Функция текучести $\phi(\sigma, K)$ здесь выпуклая. Закон течения для условия (32) предполагаем ассоциированным.

3. Методы решения задач

1. Сведение к конечномерным задачам математического программирования. Сформулированные выше проблемы предельного равновесия сечений оболочек при повторно-переменном нагружении можно решить численно. С этой целью их необходимо привести к конечномерным задачам путем разбиения площади сечения A на малые конечные площадки $\Delta A_i, i \in I$, где I – множество площадок. Тогда размерность вектора переменных состояния системы (остаточных напряжений σ^j) будет равна числу $|I|$ таких площадок. Полученные задачи нелинейного математического программирования, у которой целевая функция и ограничения-равенства линейные, а ограничения-неравенства негладкие и невыпуклые, решаются известными методами оптимизации [25]; в случае квадратичных ограничений-неравенств типа (32) применимы стандартные процедуры.

2. Решение бесконечномерных задач. Возможно более простые и точные аналитические методы решения сформулированных задач в функциональных пространствах. В данной работе использован метод множителей Лагранжа, при этом решения получены в квадратурах. Покажем это на примере однопараметрической задачи (10)–(15) с учетом (32).

Решение будем отыскивать для двух режимов разрушения, соответствующих прогрессирующему разрушению и знакопеременному пластическому течению. Третий режим, для смешанных механизмов разрушения, в аналитическом подходе не рассматриваем; поскольку он не имеет особого практического значения. Уточнение такого подхода возможно путем численного решения прямой или двойственной задачи (пп. 2.5, 2.6 и 3.1). Можно предложить также линейную аппроксимацию поверхности взаимодействия усилий (поверхности прочности) для смешанных механизмов, на основе использования имеющихся аналитических решений.

В случае прогрессирующего разрушения сечения (**первый режим** разрушения), при выпуклости функции текучести $\phi(\sigma, K)$, условие (32) из неравенства превратится в равенство. Тогда в обобщенной задаче Лагранжа (17)–(26) останутся только уравнения (17)–(19) и (22), (23), (25), в последнем уравнении будет $v_{i_0 j_0} = 0$, с неизвестными $S_{i_0 j_0}, \sigma^r(z) \in R^5, \lambda(z) \in R^1, \dot{w} \in R^1$.

Поскольку в принятой постановке зависимость $\sigma_j^e(S)$ линейна, экстремальные компоненты векторов напряжений σ_j^e ,

σ_j^{e+} (при условии (31)) возникают при действии j -х векторов усилий S_j ,

$$\sigma^e = \min\{\min_{j \in J^*} \sigma^e(S_j); 0\}; \quad (33)$$

$$\sigma^{e+} = \max\{\max_{j \in J^*} \sigma^e(S_j); 0\}; \quad (34)$$

векторы сочетаний S_j состоят только из компонент векторов S^-, S^+ . В результате для области сечения $z \in [0; h/2]$ с учетом (4), (7) получим формулы для экстремальных нормальных σ_x, σ_y и касательных τ_{xy} напряжений:

$$\sigma_x^{e\mp} := \begin{Bmatrix} \sigma_x^{e-} \\ \sigma_x^{e+} \end{Bmatrix} = \mp \frac{1}{h} N_x^\mp \mp \frac{12}{h^3} M_x^\mp z, \quad x \leftrightarrow y, \quad (35)$$

$$\tau_{xy}^{e\mp} := \begin{Bmatrix} \tau_{xy}^{e-} \\ \tau_{xy}^{e+} \end{Bmatrix} = \mp \frac{1}{h} N_{xy}^\mp \mp \frac{12}{h^3} M_{xy}^\mp z, \quad xy \leftrightarrow yx. \quad (36)$$

Аналогично для области сечения $z \in [-h/2; 0]$

$$\sigma_x^{e\mp} := \mp \frac{1}{h} N_x^\mp \pm \frac{12}{h^3} M_x^\pm z, \quad x \leftrightarrow y, \quad (37)$$

$$\tau_{xy}^{e\mp} := \mp \frac{1}{h} N_{xy}^\mp \pm \frac{12}{h^3} M_{xy}^\pm z, \quad xy \leftrightarrow yx. \quad (38)$$

Выразим из линейного матричного уравнения (22) векторное поле $\sigma^r(z)$ и подставим его в уравнения (17) и (23). Из этих одиннадцати нелинейных алгебраических уравнений (с учетом (18), (19)) найдем искомые неизвестные $\lambda(z), \dot{w}$, а затем векторное поле $\sigma^r(z)$ и компонент $S_{i_0 j_0}$ вектора усилий S_{j_0} .

Задачу (17)–(26) можно упростить, исключив из уравнения (17) одну из компонент σ^r векторного поля $\sigma^r, \sigma^r = (\sigma_i^r, \sigma_p^r)$. Тогда останутся только неизвестные $S_{i_0 j_0}, \sigma_p^r(z) \in R^4, \dot{w} \in R^1$; после исключения вектора σ_p^r из уравнения (22) необходимо будет решить (с учетом (18), (19)) десять нелинейных алгебраических уравнений (23) относительно скорости остаточных перемещений \dot{w} .

Отметим, что возможен обратный метод решения последней задачи, когда задается вектор скорости остаточных перемещений \dot{w} и отыскивается подвектор усилий $S_{p_0} \in R^9$. В этом случае решение нелинейных уравнений заменяется непосредственным интегрированием зависимостей (23).

Как для обратного, так и для прямого метода сложность заключается в выборе области определения вектора \dot{w} или начального приближения итерационного процесса; в общем случае эта область неединственная. Для выбора начального приближения вектора \dot{w} можно использовать численный подход (п. 3.1), а также решения для сечений стержневых конструкций [5].

Дальнейшее упрощение задачи возможно на основе дополнительной гипотезы $\tau_{xz}^r = 0, \tau_{yz}^r = 0$ [4], тогда искомый вектор напряжений будет $\sigma^r = (\sigma_x^r, \sigma_y^r, \tau_{xy}^r), \sigma^r \in R^3$.

Заметим, что в качестве основы для анализа рассмотренного выше режима циклического разрушения можно использовать также решение для однократного нагружения оболочки.

При знакопеременном пластическом течении в одной точке x^* сечения оболочки (**второй режим** разрушения) активными будут шесть условий текучести (11), с учетом (18), (19), $\phi(\sigma_j^e(S_j) + \sigma^r, K) = 0, j \in J_c^*,$ (39) где J_c^* - множество активных условий текучести, $|J_c^*| = 6$.

Уравнения (39) содержат пять неизвестных компонент вектора σ^r в точке x^* и определяют (в параметрической форме) соотношения для предельных усилий $S_j, j \in J_c^*$.

Рассмотрим тонкостенные оболочки, у которых усилия в сечении повторно изменяются в соответствии с условием (31). Используем матрицу влияния $\omega_{\sigma S}$ (7). Для таких оболочек опасными будут точки x^* с координатами $z^* = \pm h/2$; для определенности примем $z^* = h/2$. Тогда влияние нормальных сил N_x, N_y и изгибающих M_x, M_y моментов, а также касательных сил N_{xy}, N_{yx} и крутящих моментов M_{xy}, M_{yx} (как компонент вектора S , обуславливающих соответственно нормальные σ_x, σ_y и касательные напряжения τ_{xy} вектора σ) можно учесть раздельно. Поперечные силы Q_x^r, Q_y^r на прочность не влияют, $\tau_{yz} = \tau_{zx} = 0$.

Первые два уравнения (39) с учетом (32) для анализа знакопеременного пластического течения оболочки примут вид:

$$\begin{aligned} \varphi_1(\cdot) &= (\sigma_x^{e+} + \sigma_x^r)^2 - (\sigma_x^{e+} + \sigma_x^r)(\sigma_y^{e+} + \sigma_y^r) + \\ &+ (\sigma_y^{e+} + \sigma_y^r)^2 + 3(\Delta^\pm \tau_{xy})^2 - f_y^2 = 0, \end{aligned} \quad (40)$$

$$\begin{aligned} \varphi_2(\cdot) &= (\sigma_x^{e-} + \sigma_x^r)^2 - (\sigma_x^{e-} + \sigma_x^r)(\sigma_y^{e-} + \sigma_y^r) + \\ &+ (\sigma_y^{e-} + \sigma_y^r)^2 + 3(\Delta^\pm \tau_{xy})^2 - f_y^2 = 0, \end{aligned} \quad (41)$$

где экстремальные нормальные $\sigma_x^{e\pm}, \sigma_y^{e\pm}$ и касательные $\tau_{xy}^{e\pm}$ напряжения найдем из (35), (36) при $z^* = h/2$; $\Delta^\pm \tau_{xy}$ - слагаемое, учитывающее влияние касательных напряжений; его найдем также из (четвертого и пятого) уравнений (33) с учетом (36), исключая τ_{xy}^r ,

$$\Delta^\pm \tau_{xy} = \frac{1}{h}(N_{xy}^+ - N_{xy}^-) + \frac{6}{h^2}(M_{xy}^+ - M_{xy}^-). \quad (42)$$

Из уравнений (40), (41) исключаем σ_x^r, σ_y^r и подставляем их значения в третье уравнение (39)

$$\begin{aligned} \varphi_3(\cdot) &= (\sigma_x^{e-} + \sigma_x^r)^2 - (\sigma_x^{e-} + \sigma_x^r)(\sigma_y^{e-} + \sigma_y^r) + \\ &+ (\sigma_y^{e-} + \sigma_y^r)^2 + 3(\Delta^\pm \tau_{xy})^2 - f_y^2 = 0, \end{aligned} \quad (43)$$

откуда с учетом формул (22), (23) найдем искомую зависимость между компонентами векторов S^-, S^+ .

Заметим, что распределение напряжений $\sigma^r(z)$ по всему

сечению, $\forall z \in A$, для второго режима разрушения в рамках данного аналитического подхода получить невозможно; численное решение приводит к неединственному распределению напряжений, в зависимости от степени дискретизации сечения (от числа $|I|$, п. 3.1). Однако это распределение легко найти, решая упругую задачу для сечения, нагруженного полученным (по изложенной выше методике) напряжением $\sigma^r(z^*)$ в точке $x^* := z^*$.

Для оболочек толстостенных и средней толщины описанный подход не изменится, только матрица влияния $\omega_{\sigma S}$ будет иметь другой вид.

Действительную область приспособляемости Ω сечения найдем в результате пересечения областей, полученных для прогрессирующего разрушения Ω_1 и для знакопеременного течения $\Omega_2, \Omega = \Omega_1 \cap \Omega_2$. Ясно, что в случае безопасной работы сечения должно выполняться условие: область Ω_S изменения действующих усилий S содержится в области $\Omega, \Omega_S \subseteq \Omega$, причем Ω зависит от Ω_S .

Предложенная методика реализована в виде компьютерных программ.

4. Численные результаты

Оценим приспособляемость (несущую способность при повторно-переменном нагружении) поперечных сечений стальной полой тонкостенной оболочки на основе задачи (10)-(15) с учетом условия текучести (32) при (циклически изменяющихся) силовых внешних воздействиях типа (31). Учитываем нормальные силы N_x, N_y , а также изгибающие M_x, M_y и крутящие $M_{xy} = M_{yx}$ моменты, тогда вектор усилий $S = (N_x, M_x, M_{xy}, N_y, M_y), S \in R^5$.

Перейдем к безразмерным усилиям $n_x^-, m_x^-, m_{xy}^-, n_y^-, m_y^-, n_x^+, \dots, n_y^+$, где $n_x^\mp = N_x^\mp / N_{x0}, m_x^\mp = M_x^\mp / M_{x0}, m_{xy}^\mp = M_{xy}^\mp / T_0, \dots, m_y^\mp = M_y^\mp / M_{y0}$. Здесь $N_{x0} = N_{y0} := N_0, M_{x0} = M_{y0} := M_0, T_0$ - предельные значения усилий (нормальных сил N_0 , изгибающих M_0 и крутящего T_0 моментов) при однократном нагружении. Величины N_0, M_0 и T_0 вычисляем через предел текучести f_y и высоту сечения оболочки h ; в расчетах принято $f_y=240$ МПа, $h=0,2$ м.

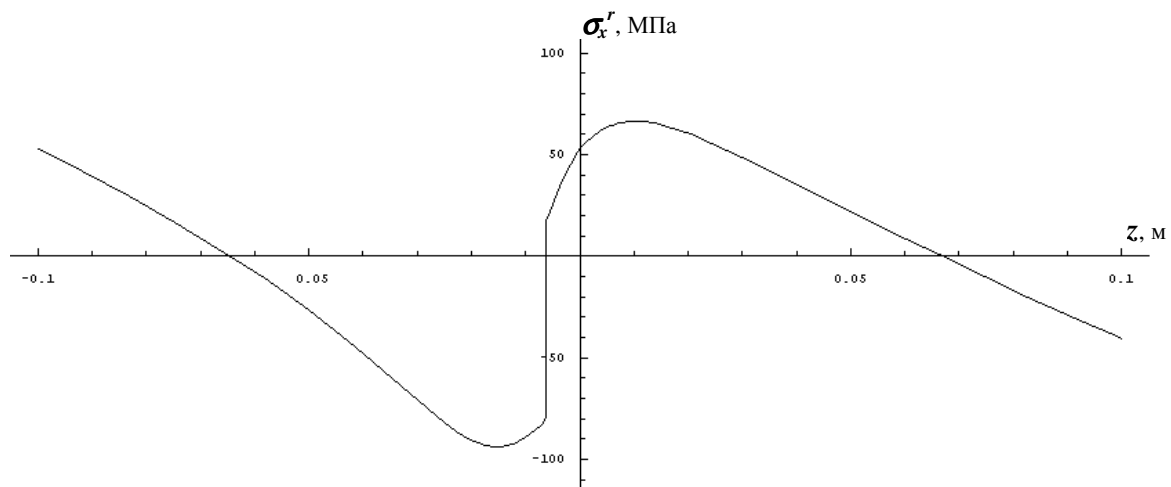


Рис.1. Эпюра остаточных нормальных напряжений σ_x^r в сечении оболочки, МПа.

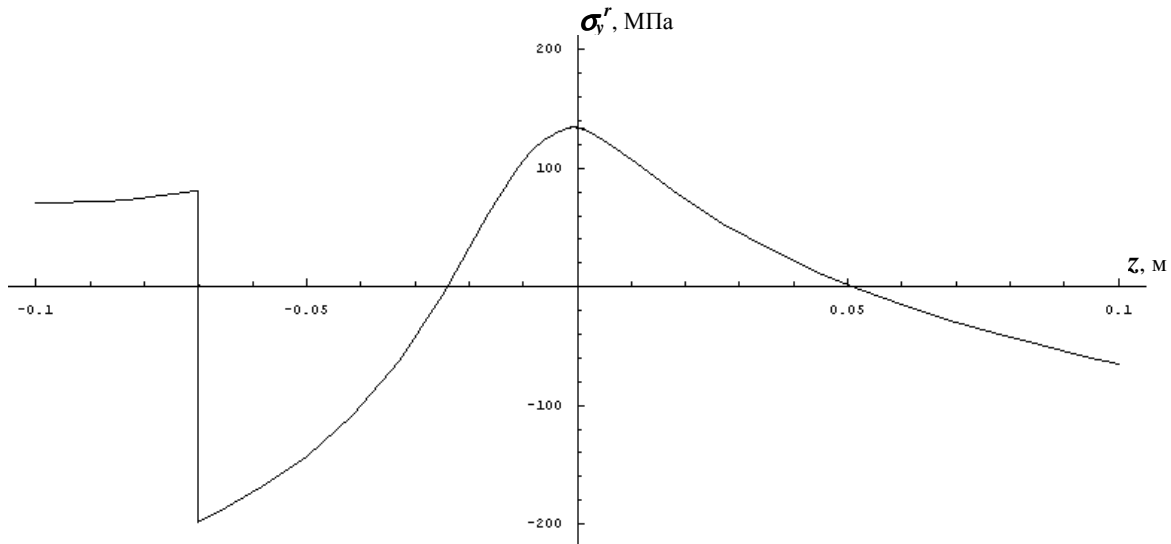


Рис. 2. Эпюра остаточных нормальных напряжений σ_y^r в сечении оболочки, МПа.

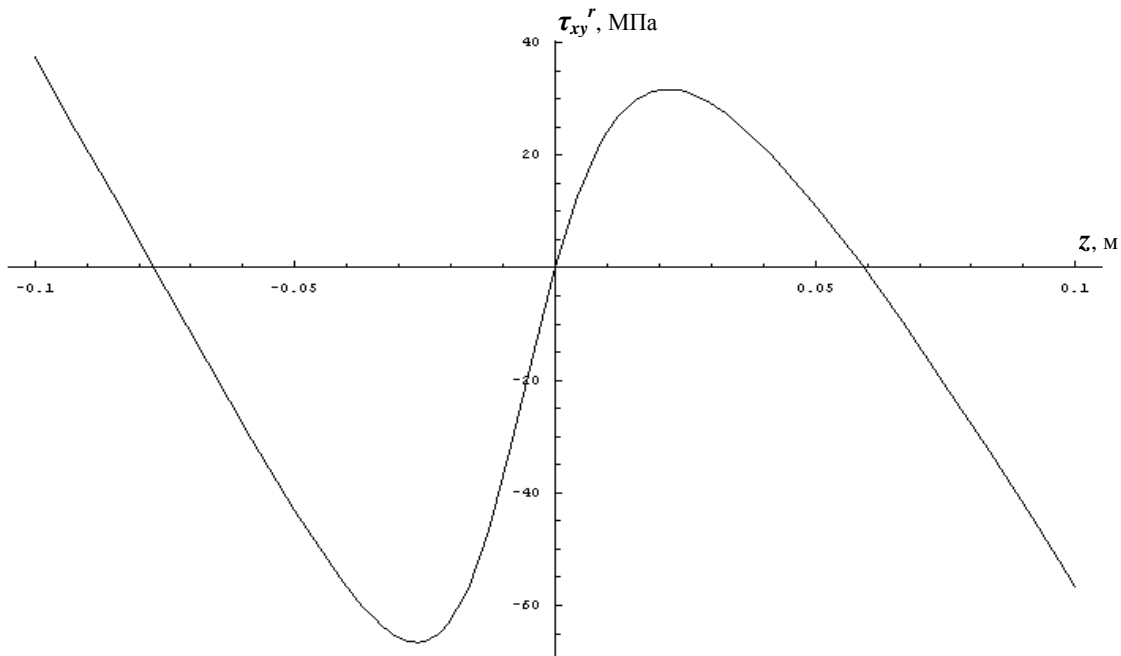


Рис.3. Эпюра остаточных касательных напряжений τ_{xy}^r в сечении оболочки, МПа.

Вначале рассмотрим прогрессирующее разрушение сечения. В качестве искомого неизвестного выберем усилие M_{xy}^+ , тогда заданными будут векторы усилий в цикле $S^- = (N_x^-, M_x^-, M_{xy}^-, N_y^-, M_y^-) \in R^5$ и $S^+ = (N_x^+, M_x^+, N_y^+, M_y^+) \in R^4$. Искомыми будут также векторное поле напряжений $\sigma^r = (\sigma_x^r, \sigma_y^r, \tau_{xy}^r)$, $\sigma^r \in R^3$ (согласно с (4) примем напряжение $\sigma_z = 0$), и вектор скорости перемещений $\dot{w} = (\dot{e}_x^r, \dot{v}_x^r, \dot{e}_y^r, \dot{v}_y^r)$, $\dot{w} \in R^4$, двойственных усилиям самонапряжения $S_p^r \in R^4$.

Заданы безразмерные усилия: $n_x^- = 0,2$; $m_x^- = 0,1$; $m_{xy}^- = 0,12$; $n_y^- = 0,15$; $m_y^- = 0,23$; $n_x^+ = 0,4768115$; $m_x^+ = 0,2864931$; $n_y^+ = 0,5870071$; $m_y^+ = 0,1767655$. В результате решения задачи получено значение безразмерного усилия (крутящего момента) $m_{xy}^+ = 0,4418999$ и векторное поле остаточных напряжений $\sigma^r = (\sigma_x^r, \sigma_y^r, \tau_{xy}^r)$. Эпюры этих напряжений представлены на рис. 1...3.

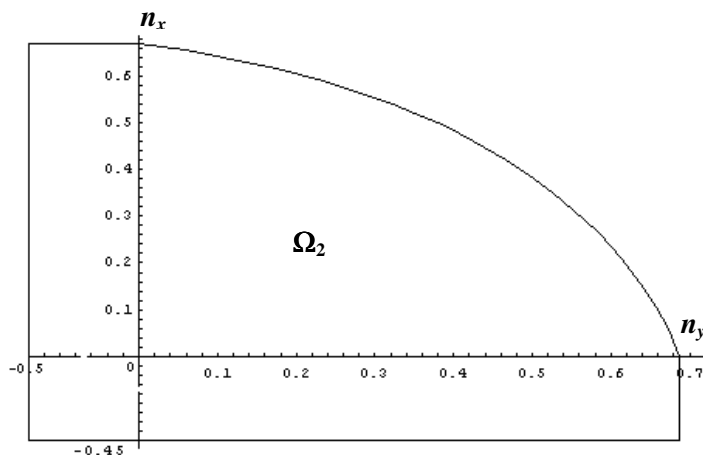
Аналогичным образом, фиксируя часть компонент векторов усилий S^- и S^+ , найдем зависимости между оставшимися

компонентами этих векторов, что определит область Ω_1 безопасной работы (приспособления) для данного режима пластического разрушения сечения оболочки.

Далее рассмотрим режим знакопеременного пластического течения. Из уравнений (40)-(43), исключив σ_x^r, σ_y^r , с учетом формул (22), (23) получим соотношение между компонентами векторов S^-, S^+ . На рис.4.a представлена зависимость между продольными силами n_x^+ и n_y^+ в сечении оболочки при циклическом режиме воздействий, заданном параметрами: $n_x^- = 0,45$; $m_x^- = 0,4$; $n_y^- = 0,5$; $m_y^- = 0,3$; $m_x^+ = 0,15$; $m_y^+ = 0,2$; $m_{xy}^- = 0,15$; $m_{xy}^+ = 0,2166666$ (в положительном квадранте плоскости $\Omega n_x n_y$); на рис.4.б – то же, при $m_x^+ = 0$.

С учетом ограничений (31) в других квадрантах плоскости $\Omega n_x n_y$ получим область Ω_2 безопасной работы сечения оболочки. Это означает, что для данного режима пластического разрушения сечение оболочки приспособится при любом повторно-переменном изменении усилий n_x и n_y внутри и на границе областей Ω_2 на рис. 4.

а)



б)

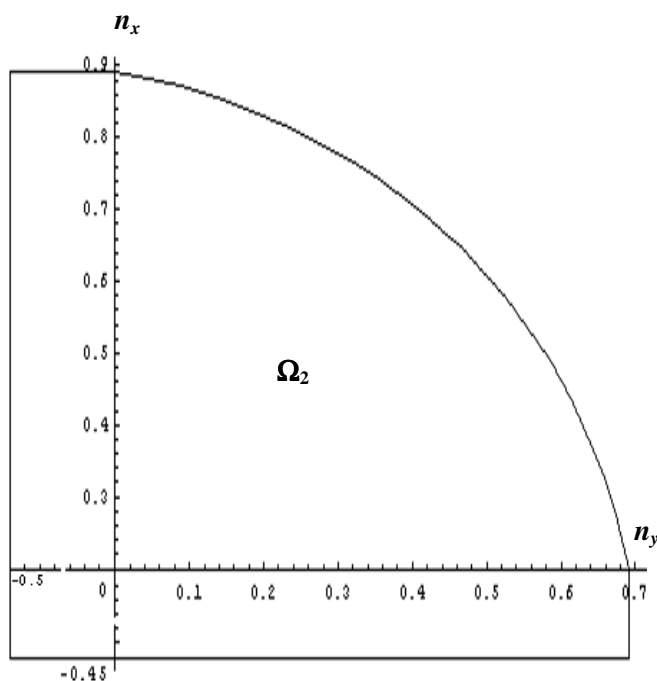


Рис. 4. Зависимость между продольными силами n_x^+ и n_y^+ в сечении оболочки при знакопеременном течении для усилий: а) $m_x^+ = 0,15$; б) $m_x^+ = 0$.

Подобным образом можно построить области Ω_2 для всего пространства \mathbf{R}^5 циклически изменяющихся компонент векторов усилий \mathbf{S} .

Область приспособляемости сечения Ω найдем как результат пересечения областей, полученных для прогрессирующего разрушения Ω_1 и для знакопеременного течения Ω_2 .

Как и для случаев на рис. 4.а и 4.б, область приспособляемости Ω будет существенно зависеть от характеристик циклов внешних силовых воздействий. Эти характеристики циклов определяют существенную (до 40%) деградацию несущей способности элементов. В этом состоит принципиальное отличие условий прочности сечений и элементов конструкций при повторно-переменном нагружении от соответствующих условий прочности при однократном нагружении. Заметим, что данный эффект в расчетах реальных конструкций в явном виде до настоящего времени, как правило, не учитывался.

Предложенные методы учета взаимодействия повторно-переменных усилий в сечениях оболочек реализованы в компьютерных программах.

5. Заключение

В данной работе решена проблема несущей способности поперечных сечений толстостенных и тонкостенных оболочек при действии повторно-переменных малоцикловых нагрузок. Сформулирована прямая и двойственная формулировки задач оптимизации для выпуклых и невыпуклых условий текучести. На основе метода множителей Лагранжа численно исследована прочность сечений оболочек при различных режимах циклического разрушения. Для частных случаев получены простые решения в квадратурах. Показано, что взаимодействие повторно-переменных усилий оказывает весьма существенное влияние на величину несущей способности элементов.

СПИСОК ИСПОЛЬЗОВАННЫХ ИСТОЧНИКОВ

1. Чирас А.А. Теория оптимизации в предельном анализе твердого деформируемого тела. – Вильнюс, Изд-во „Минтис“, 1971. – 124 с.
2. Каменярж Я.А. Предельный анализ тел и конструкций. – М., Наука. Физматлит, 1997. – 512 с.
3. Быковцев Г.И., Ивлев Д.Д. Теория пластичности. – Владивосток, Дальнаука, 1998. – 528 с.
4. Алявдин П.В. Несущая способность и оптимальное проектирование упругопластических конструкций / Белорусский политехнический институт, Минск, 1990. – Деп. во ВНИ-ИНТПИ 14.10.90, № 10856. – 436 с.
5. Алявдин П.В. Приспособляемость элементов конструкций в общем случае нагружения // Теоретическая и прикладная механика, вып. 14, Минск: Выш. школа, 1987, с. 95-100.
6. Гохфельд Д.А., Чернявский О.Ф. Несущая способность конструкций при повторных нагружениях. Москва: Машиностроение, 1979. 263 с.
7. Gokhfeld D.A. and Cherniavsky O.F. Limit Analysis of Structures at Thermal Cycling. Sijthoff-Noordhoff, Alphen aan den Rijn, The Netherlands, 1980.
8. König J.A. Shakedown of Elastic-plastic Structures. PWN, Warszawa, Elsevier, Amsterdam, 1987. – 214 p.
9. Inelastic behaviour of structures under variable loads / ed. by Zenon Mroz ... // Zenon Mroz ; Dieter Weichert; Stanislaw Dorosz / Euromech Colloquium (298, 1992, Warszawa) / Solid mechanics and its applications : SMIA; 36: Kluwer Academic Publishers, 1995, XVII, 496 p.
10. Inelastic Analysis of Structure Under Variable Loads: Theory and Engineering Applications/ Ed. by D. Weichert, G. Maier. Kluwer Academic Publishers, 2000. (Solid Mechanics and Its Applications, Vol. 83). – 380 p.
11. Власов В.З. Общая теория оболочек и ее приложения в технике. – М.-Л., ГИТТЛ, 1949. – 784 с.
12. Амбарцумян С.А. Теория анизотропных пластин: Прочность, устойчивость и колебания. – 2-е изд. – М., Наука, 1987. – 360 с.
13. Ильюшин А.А. Конечное соотношение между силами и моментами и связь их с деформациями в теории оболочек // Прикладная математика и механика. – 1945. – Т. 9. – № 1. – С. 101-110.
14. Ерхов М.И. Теория идеально пластических тел и конструкций. – М.: Наука, 1978. – 352 с.
15. Wojewódzki Wiesław. Nośność graniczna powłok. – Warszawa: Oficyna Wydawnicza Politechniki Warszawskiej, 2002. – 356 s.
16. Węzły i połączenia konstrukcyjne: projektowanie metodą nośności granicznej / red. Henryk Frąckiewicz, Warszawa : Wydawnictwa Naukowo-Techniczne, 1985. – 372 s.
17. W. Szczepiński, J. Szalikowski. Projektowanie konstrukcji metodą granicznych pól naprężeń/ Biblioteka Mechaniki Stosowanej. – Warszawa-Poznań: PWN – Państwowe Wydawnictwo Naukowe, 1985. – 334 s.
18. Алявдин П.В., Гариб Мохамед. Определение несущей способности конструкции с учетом изменения ее формы // Строительство и архитектура (Известия высш. учеб. завед.). – 1990. – № 8. – С. 114-117.
19. Aljawdin P., Werner F. Auswahl maßgebender Lastkombinationen für große Tragwerke // Bauingenieur, Band –72, Heft 7/8, Juli/Aug. 1997. – S. 355 – 361.
20. Гольштейн Е.Г. Теория двойственности в математическом программировании и ее приложения. – М., Наука, 1971. – 352 с.
21. Kączkowski Zbigniew. Płyty – obliczenia statyczne, Wydawnictwo Arkady, Warszawa, 1980. = Кончковский З. Плиты: Статические расчеты. Перев. с польск.: – М., Стройиздат, 1984. – 484 с.
22. Dem'yanov V.F., Stavroulakis G.E., Polyakova L.N., Panagiotopoulos P.D. Quasidifferentiability and Nonsmooth Modelling in Mechanics, Engineering and Economics / Nonconvex Optimization and Its Applications. Vol. 10. – Dordrecht/Boston/London, Kluwer Academic Publishers, 1996. – 348 p.
23. Alyavdin P.V., Simbirkin V.N. Limit analysis of reinforced concrete cross-sections under cyclic loading // Statiba, 1999, T. V, Nr. 5. – Civil Engineering, 1999, Vol. V, No 5. – Vilnius, “Technika”, 1999. – P. 335-339.
24. Kuczma M.S., Stein E. Nonconvex problems in the theory of plasticity / Arch. Mech., 46, 1994, pp. 505-529.
25. L. Bousshine, A. Chaaba, G. De Saxce. A new approach to shakedown analysis for non-standard elastoplastic material by the bipotential / International Journal of Plasticity, Vol. 19, No. 5, May, 2003, pp. 583-598.
26. V.F. Demyanov. Quasidifferentiable optimization: Algorithms for QD functions. In: Encyclopedia of optimization. Editors C.A.Floudas, P.M.Pardalos / Kluwer Academic publishers. Dordrecht /Boston/London 2001, Vol. 4, pp. 458-464.
27. Mason Jayme. Methods of functional analysis for application in solid mechanics / Series: Studies In Applied Mechanics, Vol. 9, Amsterdam et al. Elsevier, 1985. – 392 p.
28. Polizzotto Castrenze, Borino Guido. Shakedown and steady-state responses of elastic-plastic solids in large displacements / Int. J. Solids Structures, Vol. 33, No. 23, 1996. pp. 3415-3437.

УДК 624.012.45: 666.972.07: 539.4

Алявдин П.В.

НЕСУЩАЯ СПОСОБНОСТЬ СЕЧЕНИЙ ОБОЛОЧЕК. 2. ОДНОКРАТНОЕ НАГРУЖЕНИЕ ТОЛСТОСТЕННЫХ СЕЧЕНИЙ

Введение

В данной работе на основе подхода автора (Статья-1) сформулирована и решена проблема прочности и несущей способности поперечных сечений однородных изотропных оболочек различной толщины (толстостенных, средней толщины и тонкостенных) при однократном нагружении, монотонно возрастающем во времени. Для данной проблемы представлены прямая и двойственная формулировки, а также обобщенная задача Лагранжа. Численно исследована прочность сечений стальных толстостенных оболочек. Полученные здесь результаты позволяют оценить многочисленные существующие решения для несущей способности тонких

оболочек при однократном нагружении (см. [1-4]), а также возможные новые решения для оболочек средней толщины [5]. Такой подход будет особенно важным для анизотропных пластин и оболочек из композитных материалов, рассчитываемых по уточненным теориям [6, 7], а также для анализа стыков и соединений стержневых или оболочечных элементов [8, 9].

1. Постановка задачи

Рассмотрим задачу определения несущей способности сплошных поперечных сечений как элемента оболочек при однократном нагружении. Оболочки выполнены из однородно-